

## ارزیابی رفتار فشاری فوم‌های فولادی تولیدشده به روش متالورژی پودر\*

حمید سازگاران<sup>(۱)</sup> علی محمد ناصریانیک<sup>(۲)</sup> محمدرضا اکبری<sup>(۳)</sup> علی اکبری نژاد فوق<sup>(۴)</sup>

## چکیده

فوم‌های فلزی و فلزات سلولی دسته‌ای از مواد مهندسی نوظهور هستند که به دلیل داشتن رفتار و ویژگی‌های منحصر به فرد می‌توانند در بسیاری از کاربردهای صنعتی به صورت موفقیت‌آمیز استفاده شوند. در این پژوهش، فوم‌های فولادی به روش متالورژی پودر و با استفاده از اوره به عنوان پرکننده فضا یا فضا ساز تولید شدند و درصد تخلخل، ریز ساختار و رفتار فشاری آن‌ها مطالعه شد. علاوه بر این، رفتار فشاری فوم‌های تولیدی به کمک روش اجزای محدود و بر پایه مدل گارسون-تورگارد-نیلمن شبیه‌سازی و اثر پارامترهای مؤثر در مدل یادشده برای پیش‌بینی بهتر رفتار فوم‌های فولادی بررسی شد. نتایج حاکی از آن است که میانگین میزان تخلخل در فوم‌های فولادی برابر ۷۹/۳ درصد است که شامل سلول‌های تشکیل شده در اثر انحلال دانه‌های اوره و حفرات باقی‌مانده در بین ذرات آهن تفجوشی شده است. منحنی‌های تنش-کرنش فشاری فوم‌های فولادی تولیدشده بیانگر رفتار مرسوم فوم‌های فلزی است و دارای نواحی تغییر شکل کشسان و پلاتو دندان‌اره‌ای نسبتاً طولانی و در نهایت، نقطه شکست است. نتایج شبیه‌سازی پیش‌بینی می‌کند که اندازه مش،  $f_n$ ،  $q_1$  و  $q_2$  بر روی منحنی‌های تنش-کرنش فشاری مؤثرند، اما  $q_1$  بیشترین تأثیر و  $f_n$  کمترین تأثیر را دارند.

**واژه‌های کلیدی** فوم فولادی، رفتار فشاری، مدل گارسون-تورگارد-نیلمن، پلاتو دندان‌اره‌ای، پارامترهای شبیه‌سازی.

## Investigation on the Compressive Behavior of Steel Foams Manufactured by Powder Metallurgy Route

H. Sazegaran A.M. Naserian-Nik M.R. Akbari A. Akbar-Nejad Fogh

## Abstract

*Metallic foams and cellular metals are a type of new-advanced engineering materials which can be successfully used in various industrial applications due to their unique behavior and properties. In this work, steel foams were produced through powder metallurgy route using urea granules as a space holder, and porosity percentage, microstructure, and compressive behavior of them were investigated. In addition, the compressive behavior of manufactured foams was simulated using finite element method by the Gurson-Tvergaard-Needleman model and the effects of operational parameters in this model were investigated due to better prediction of mechanical behavior of steel foams. The results indicated that the average of porosity in the steel foam is 79.3 percent, which consists of cells formed by the dissolution of urea granules and remained pores between the sintered iron particles. Stress vs. strain curves of the manufactured steel foams showed the conventional behavior of metal foams, with elastic deformation region and a relatively longitudinal plateau region and, a fracture point, finally. Mesh sizes,  $f_n$ ,  $q_1$  and  $q_2$  have the significant effect on stress vs. strain curves, but  $q_1$  and  $f_n$  have the most and the least effects, respectively.*

**Key Words** Steel foam, Compressional behavior, Gurson-Tvergaard-Needleman model, Saw-tooth plateau, Simulation parameter.

\* تاریخ دریافت مقاله ۹۷/۱۲/۱۹ و تاریخ پذیرش آن ۹۸/۸/۲۱ می‌باشد.

Email: h.sazegaran@qiet.ac.ir

(۱) نویسنده مسئول، استادیار گروه مهندسی صنایع، دانشکده مهندسی، دانشگاه صنعتی قوچان، قوچان.

(۲) استادیار گروه مهندسی مکانیک، دانشکده مهندسی، دانشگاه صنعتی قوچان، قوچان.

(۳) دانشجوی کارشناسی مهندسی مکانیک، دانشکده مهندسی، دانشگاه صنعتی قوچان، قوچان.

(۴) دانشجوی کارشناسی مهندسی مکانیک، دانشکده مهندسی، دانشگاه صنعتی قوچان، قوچان.

## مقدمه

فوم‌های فلزی متخلخل یا فلزات سلولی دسته‌ای جدید از مواد مهندسی پیشرفته هستند که به دلیل داشتن ویژگی‌های منحصر به فرد مانند چگالی پایین، جذب انرژی و مقاومت به ضربه بالا، ویژگی‌های صوتی و حرارتی جالب توجه، به صورت گسترده در ساخت و تولید عایق‌های حرارتی و صوتی، سازه‌های سبک، ضربه‌گیرها، مبدل‌های حرارتی، فیلتراسیون و... استفاده می‌شود. علاوه بر این، فوم‌های فلزی در کاربردهای پزشکی مانند پروتزهای دندان و استخوانی نیز به صورت موفقیت‌آمیز عمل می‌کنند [4-1]. فوم‌های فلزی از فلزات و آلیاژهای مختلفی تولید می‌شوند که به آلومینیم به دلیل چگالی پایین به شدت توجه شده است. البته فوم‌های فولاد، تیتانیم، منیزیم، نیکل، طلا و... نیز در حال تولید و توسعه هستند [7-5].

رفتار و ویژگی‌های جالب توجه فوم‌های فلزی به درصد تخلخل، مورفولوژی سلول‌ها (باز یا بسته بودن، اندازه، شکل و نحوه توزیع سلول‌ها)، جنس دیواره سلول‌ها، ضخامت و میزان عیوب دیواره‌ها وابسته است که بیشتر این عوامل تحت تأثیر فرایند تولید است [9,8]. فرایندهای اصلی تولید فوم‌های فلزی شامل تولید به روش متالورژی ذوبی و تولید به روش متالورژی پودر است [2,1]. در تولید فوم‌های فولادی به علت بالا بودن دمای سالیدوس و همچنین دیگر مشکلات مرتبط با فرایندهای ذوب و ریخته‌گری، معمولاً فرایندهای مبتنی بر متالورژی پودر به کار برده می‌شود [12-10]. فرایندهای متالورژی پودر امکان تولید سلول‌های باز با شکل و اندازه یکسان و توزیع نسبتاً یکنواخت را فراهم می‌کنند [15-13]. در میان این روش‌ها، استفاده از فضا ساز یا پرکننده فضا روشی پرکاربرد است که مورفولوژی یکنواخت سلول‌های باز را به ارمغان می‌آورد. در این روش، پودرهای آهن و دیگر افزودنی‌ها بر روی مواد فضا ساز به صورت دانه، پودر یا ذرات قرار می‌گیرند و پس از فشردن و تولید نمونه‌های اولیه، خروج فضا ساز صورت می‌گیرد و در انتها، تف‌جوشی منجر به تولید فوم فولادی می‌شود [18-15].

با توجه به این که روش‌های تولید مختلف، تأثیرات

متنوعی بر روی رفتار مکانیکی و عملکرد فوم‌های فلزی دارند، تخمین رفتار مکانیکی فوم‌های تولیدی حائز اهمیت است. استفاده از روش اجزای محدود (Finite element method (FEM) بیشتر می‌تواند ابزاری مفید برای تعیین رفتار مکانیکی مواد باشد. البته نتایج شبیه‌سازی شدیداً به نحوه مدل‌کردن مواد وابسته است. تا امروز مدل‌های مختلفی از جمله مدل‌های سلول مکعبی (Cubic cell)، گیسون-اشبی (Gibson-Ashby)، هشت وجهی، کلونین (Kelvin)، ورونوی (Voronoi) و کرات اتفاقی سه بعدی (3D random spheres) برای توصیف رفتار میکروساختار فوم‌های فلزی توسعه داده شده‌اند. از مدل‌های یادشده برای پیش‌بینی رفتار فوم‌های فلزی، همچون ویژگی‌های کشسانی و مومسانی، کماتش، رفتار ضربه‌ای، انتقال حرارت، هدایت الکتریکی و... استفاده شده است [19].

محمدی و همکاران [20] از طریق عکس برداری سی-تی اسکن از فوم آلومینیم، پردازش تصویر و انتقال هندسه به دست آمده به نرم افزار ANSYS، رفتار فشاری فوم آلومینیم را به روش اجزای محدود مطالعه کردند. رامیرز و همکاران [21] با استفاده از تصاویر ریزپرتونگاری رایانه‌ای و نرم افزار MIMICS، هندسه سه بعدی نمونه‌های فوم آلومینیمی را ایجاد کردند، سپس به کمک نرم افزار 3-Matic شبکه بندی و نهایتاً با انتقال مدل به نرم افزار ABAQUS، رفتار مکانیکی فشاری فوم‌های آلومینیمی سلول باز شبیه سازی شد. علاوه بر این، مدل‌های میکروساختاری مدل گارسون (Gurson) [22] و لمایتره (Lemaitre) [23] رفتار مواد را بر پایه تأثیرات آسیب در ریزساختار همانند تشکیل ترک‌ها، حفرات و آخال‌ها پیش‌بینی می‌کنند. مدل گارسون-تورگارد-نیدلمن، مدل توسعه یافته گارسون است که از معادلات و پارامترهای متنوعی استفاده می‌کند [24]. این مدل می‌تواند آسیب در مواد و همچنین نرم شدن ماده را تشریح کند.

مدل گارسون-تورگارد-نیدلمن (Gurson-Tvergaard-Needleman model) به صورت گسترده برای پیش‌بینی رفتار و ویژگی‌های مکانیکی مواد مهندسی گوناگون مانند فولادهای StE 690 [25] و A48-AP [26] به کار برده شده

است. فرایند مخلوط کردن پودرها با یک مخلوط کن مخصوص پودر با سرعت ۱۵۰ rpm به مدت ۳۰ دقیقه انجام شد. علاوه بر این، دانه‌های اوره کروی شکل با قطر بین ۱ تا ۱/۵ میلی‌متر برای فضا ساز به کار گرفته شد (شکل ۱-ب).

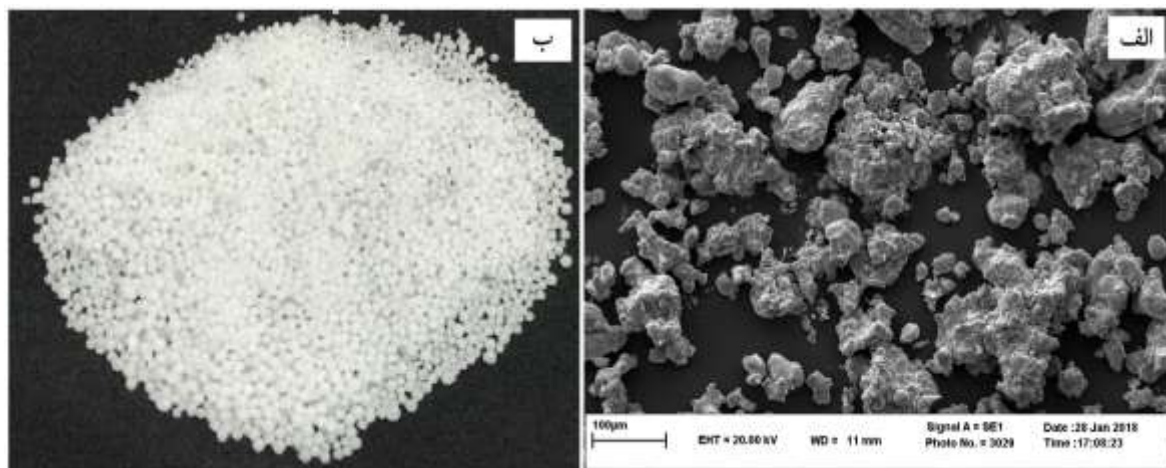
در فرایند پوشش دهی، مخلوط پودری و دانه‌های اوره همراه با ۲ درصد وزنی آب درون یک محفظه پلی اتیلن قرار داده شدند و محفظه با سرعت ۲۰۰ rpm به مدت ۴ دقیقه به چرخش در آمد. سپس، آب با سطوح دانه‌های اوره واکنش می‌دهد و سطوح چسبنده ایجاد می‌کند که در نتیجه، مخلوط پودری به سطوح دانه‌های اوره می‌چسبد. سپس، فرایند فشردن درون یک قالب استوانه‌ای با قطر داخلی ۱۲mm از جنس فولاد زنگ‌نزن با فشار اعمالی ۱۰۰MPa انجام شد و نمونه‌های اولیه تولید شدند. نمونه‌ای از قطعات اولیه تولیدی، در شکل ۲ به تصویر کشیده شده است. سپس، نمونه‌های اولیه به مدت ۵ دقیقه درون آب مقطر قرار داده شدند و انحلال دانه‌های اوره صورت گرفت. پس از انجام فرایند انحلال، فرایند تف‌جوشی درون یک کوره مخصوص متالورژی پودر (شرکت متالورژی پودر مشهد) ساخته شده توسط Mahler مدل ME542 با اتمسفر آمونیاک شکسته صورت گرفت و ۲۵ نمونه از فوم‌های فولادی تولید شد.

است. اما استفاده از این مدل در تخمین و پیش‌بینی رفتار مکانیکی فوم‌های فلزی به‌ویژه فوم‌های فولادی می‌تواند مفید واقع شود. در این پژوهش، هدف تولید فوم‌های فولادی به‌روش متالورژی پودر با استفاده از دانه‌های اوره به‌عنوان فضا ساز و همچنین ارزیابی رفتار فشاری فوم‌های تولیدی به‌روش تجربی و با استفاده از مدل گارسون-تورگارد-نیدلمن است. علاوه بر این، تأثیر پارامترهای مؤثر در معادلات گارسون-تورگارد-نیدلمن نیز مطالعه شده است.

## روش انجام آزمایشات

### تولید فوم‌های فولادی

برای تولید فوم‌های فولادی، از روش متالورژی پودر مبتنی بر به‌کارگیری دانه‌های اوره به‌عنوان فضا ساز استفاده شد. در این روش، ابتدا پودرهای استفاده شده برای پوشش دهی دانه‌های اوره مخلوط شدند. مخلوط پودر استفاده شده شامل ۵/۰ درصد وزنی کربن (گرافیت بسیار ریز)، ۲ درصد وزنی فسفر و بقیه پودر آهن می‌باشد. در شکل ۱-الف، تصویر میکروسکوپ الکترونی روبشی پودر آهن استفاده شده نمایش داده شده است. توزیع ذرات آهن به این‌گونه است که ۳۰ درصد وزنی بین ۱۰۰ تا ۱۶۰ میکرون، ۳۳ درصد وزنی بین ۶۳ تا ۱۰۰ میکرون و ۳۷ درصد وزنی کوچک‌تر از ۶۳ میکرون



شکل ۱ (الف) تصویر میکروسکوپ الکترونی روبشی از پودر آهن استفاده شده و (ب) تصویر دانه‌های اوره استفاده شده

میکروسکوپ نوری، نمونه‌های تهیه‌شده با آلیاژ Au-Pd و با دستگاه Sputter Coater SC7620 پوشش‌دهی شدند و سپس مطالعات میکروسکوپ الکترونی روبشی با دستگاه LEO 1450VP انجام شد.

### رفتار فشاری

برای تعیین رفتار مکانیکی فوم‌های فولادی تولیدشده، از آزمون فشار استفاده شد. این آزمون با دستگاه Zwick مدل Z250 انجام شد. نمونه‌های آزمون فشار از فوم‌های تف‌جوشی‌شده تهیه شدند. فوم‌های تولیدی، با ایرکات برش داده شدند و نمونه‌های آزمون فشار به صورت استوانه‌ای با قطر ۱۲mm و ارتفاع ۱۸mm تولید شدند. در انجام آزمون فشار، از روغن به عنوان روان‌کار در بین سطوح نمونه و فک‌های دستگاه استفاده شد. لازم به ذکر است که نتایج ارائه‌شده برپایه میانگین دست‌کم ۳ آزمون است. سرعت اعمال بار فشاری در این آزمون برابر ۰/۱mm/min در نظر گرفته شد.

### مدل گارسون-تورگارد-نیدلمن

در مدل گارسون [27]، از یک گوی توخالی و معیار تسلیم فون-میزر استفاده شد. سپس، تورگارد این مدل را اصلاح کرد و ضرایب تناسب در آن اعمال شد. به دلیل این‌که مدل گارسون-تورگارد معیاری مناسب برای تخریب ماده نداشت، تأثیرات تخریب حفرات را به خوبی تشریح نمی‌کرد. نیدلمن براساس نتایج آزمایشگاهی بیان کرد که اگر کسر حجمی حفرات به مقدار بحرانی ( $f_c$ ) برسد، رشد شتاب‌یافته (ادغام) حفرات آغاز و به تبع آن تخریب ماده رخ می‌دهد. براین اساس، نیدلمن مدل گارسون-تورگارد را اصلاح کرد و معادله زیر استخراج شد [26,28]:

$$\Phi = \left(\frac{\sigma_{eq}}{\sigma_y}\right)^2 + 2q_1 f^* \cosh\left(-q_2 \frac{3\sigma_m}{2\sigma_y}\right) - 1 - (q_1 f^*)^2 = 0 \quad (3)$$



شکل ۲ نمونه تولیدشده اولیه بعد از مرحله فشردن

### تعیین درصد تخلخل

پس از انجام فرایند تف‌جوشی فوم‌های فولادی، نمونه‌های تولیدی توزین شدند و سپس، میزان چگالی و درصد تخلخل هر کدام از نمونه‌ها تعیین شد. چگالی فوم‌های تولیدی برپایه معادله (۱) اندازه‌گیری شد و درصد تخلخل آن‌ها با معادله (۲) محاسبه شد [1,2].

$$\rho = \frac{m}{V} \quad (1)$$

$$P_m \% = \left[1 - \left(\frac{\rho_F}{\rho_S}\right)\right] \times 100 \quad (2)$$

که در معادلات فوق،  $\rho$  چگالی،  $m$  جرم،  $V$  حجم،  $P_m \%$  درصد تخلخل تعیین‌شده براساس اندازه‌گیری چگالی،  $\rho_F$  چگالی فوم‌های فولادی تولید شده و  $\rho_S$  چگالی جامد یا چگالی فولاد بدون تخلخل و برابر  $7800 \text{ kg/m}^3$  است.

### ارزیابی ریزساختار دیواره سلول‌ها

بررسی‌های ریزساختاری بر روی دیواره سلول‌های فوم‌های تولیدی شامل مطالعات میکروسکوپ نوری (OM) و میکروسکوپ الکترونی روبشی (SEM) است. فوم‌های تولیدشده ابتدا در جهت عمود به محور اصلی بریده شدند و سپس، فرایندهای مانت‌گرم، سمباده‌زنی و پولیش‌کاری بر روی آن‌ها انجام شد. فرایند حکاکی با محلول نایتال ۲درصد و به مدت ۵ دقیقه انجام شد. بعد از انجام ارزیابی‌های

### مدل اجزای محدود

برای شبیه سازی رفتار فشاری فوم های فولادی از نرم افزار Abaqus 6.13.1 استفاده شد که بخش Porous این نرم افزار قابلیت به کارگیری مدل گارسون-تورگارد-نیدلمن را دارد. باید در نظر داشت که در فرایند مدل سازی، نمونه های فشار مطابق با نمونه های واقعی و به صورت استوانه ای با قطر ۱۲mm و ارتفاع ۱۸mm در نظر گرفته شدند و تأثیرات اندازه مش L (۰/۰۰۰۱، ۰/۰۰۰۱، ۰/۰۰۰۲، ۰/۰۰۰۳) و پارامترهای مؤثر در مدل گارسون-تورگارد-نیدلمن  $f_n$  (۰/۰۰۰۱، ۰/۰۰۰۲، ۰/۰۰۰۴، ۰/۰۰۰۶، ۰/۰۰۰۸)،  $q_1$  (۱/۲۵، ۱/۵، ۱/۷۵، ۲) و  $q_2$  (۱/۲۵، ۱/۵، ۱/۷۵، ۲) بر رفتار فشاری فوم های فولادی تحلیل شد.

### نتایج و بحث

#### ریزساختار و درصد تخلخل

شکل ۳ تصاویر میکروسکوپ نوری و میکروسکوپ الکترونی روبشی از سلول ها و دیواره سلول های فوم های فولادی تولیدی را نشان می دهد. همان طور که مشاهده می شود، سلول ها براساس انحلال دانه های اوره در زمینه فولادی تشکیل شده اند و زمینه فولادی دیواره سلول ها را ایجاد کرده است. توزیع سلول ها تقریباً یکنواخت است و در نتیجه، رفتار مکانیکی و عملکرد تقریباً یکنواخت در همه قسمت های فوم های تولیدی قابل انتظار است [11,12]. علاوه بر این، سلول های ایجاد شده در بخش های مشخصی با یکدیگر اتصال دارند که دلیل آن می تواند به اعمال فشار در فرایند فشردن و همچنین انحلال و خروج دانه های اوره با آب باشد [14,15]. تشکیل محل های اتصال در بین سلول ها منجر به ایجاد سلول های باز در ساختار فوم های تولیدی شده است.

در شکل ۴، تصاویر میکروسکوپ نوری و میکروسکوپ الکترونی روبشی از دیواره سلول ها نمایش داده شده است. همان طور که مشاهده می شود، حفراتی در میان دیواره سلول ها تشکیل شده است. تشکیل حفرات در ساختار

که در این معادله،  $\Phi$  تابع تسلیم،  $\sigma_{eq}$  تنش معادل فون-میزز،  $\sigma_y$  تنش تسلیم ماده،  $\sigma_m$  تنش میانگین یا تنش هیدرواستاتیک،  $q_1$  و  $q_2$  ضرایب تابع تسلیم (یا ضرایب تورگارد) و  $f^*$  کسر حجمی مؤثر حفرات است و اثر ادغام حفرات را بر رفتار ماده منظور می کند [29] که  $f^*$  به صورت زیر تعیین می شود:

$$f^* = \begin{cases} f & f \leq f_c \\ f_c + \frac{1-f_c}{f_f-f_c}(f-f_c) & f > f_c \end{cases} \quad (4)$$

که در معادله فوق،  $f$  کسر حجمی حفرات و  $f_f$  کسر حجمی حفرات در هنگام شکست نهایی است. گسترش عیب در یک فلز نرم ناشی از رشد و ادغام حفرات است. در نتیجه، معادله گسترش برای متغیر عیب به این صورت نوشته می شود و در این رابطه علامت «\*» نشانه مشتق نسبت به زمان است.

$$\dot{f} = \dot{f}_{growth} + \dot{f}_{nucleation} \quad (5)$$

بر پایه تئوری مواد متخلخل متشکل از ماده بستر با رفتار مومسان غیر قابل تراکم، نرخ رشد حفره با رابطه زیر بیان می شود:

$$\dot{f}_{growth} = (1-f)\text{trace}(\dot{\epsilon}^P) \quad (6)$$

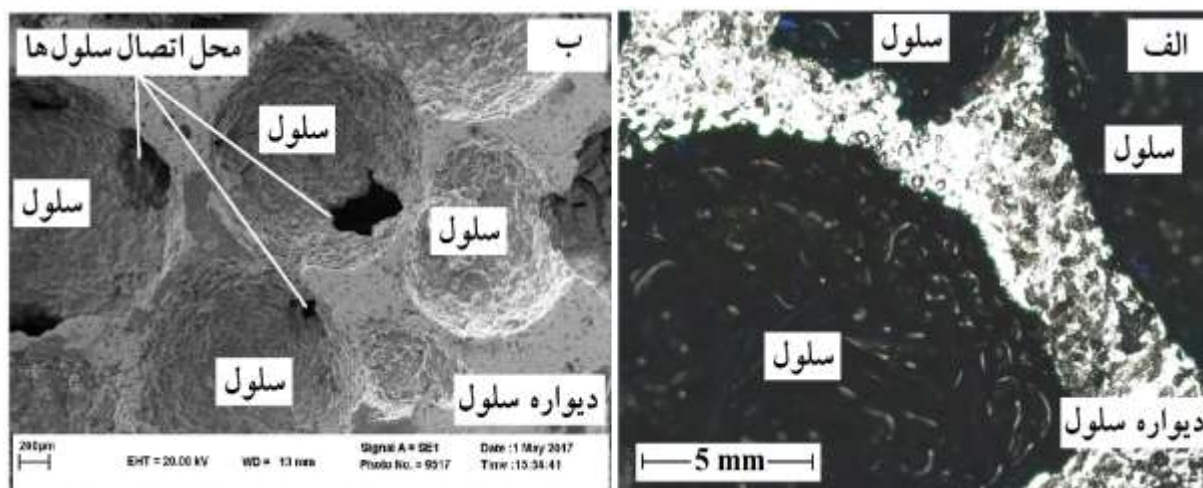
که در آن  $\dot{\epsilon}^P$  تانسور مشتق کرنش مومسان نسبت به زمان است. ادغام حفرات یک فرایند فیزیکی بسیار پیچیده است که به ریزساختار ماده وابسته است. چو و نیدلمن [30] یک مکانیزم کنترل شده کرنشی برای ادغام حفرات جدید پیشنهاد کرده اند:

$$\dot{f}_{nucleation} = \frac{f_n}{s_n \sqrt{2\pi}} \exp \left[ - \left( \frac{\epsilon_n - \epsilon_0^P}{s_n} \right)^2 / 2 \right] \dot{\epsilon}_0^P \quad (7)$$

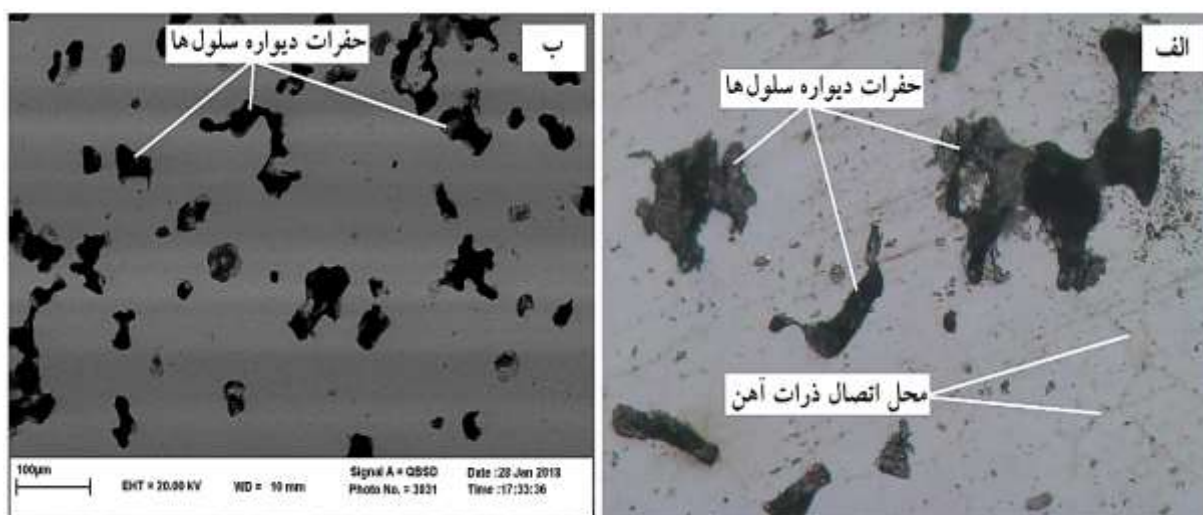
در رابطه فوق،  $f_n$  کسر حجمی مربوط به حفرات ادغام شونده،  $\epsilon_0^P$  کرنش مومسان که به ازای آن ادغام رخ می دهد،  $\epsilon_n$  کرنش متوسط برای ادغام و  $s_n$  انحراف استاندارد متناظر آن است.

تشکیل شده براساس انحلال دانه‌های اوره و نوع دوم، حفرات تشکیل شده در بین ذرات آهن به هم متصل شده است. میانگین میزان تخلخل اندازه‌گیری شده (براساس معادله ۲) در فوم‌های فولادی برابر ۷۹/۳ درصد است. این مقدار نسبتاً بالای تخلخل به تشکیل سلول‌ها و باقی‌مانده حفرات در بین ذرات آهن مربوط می‌شود.

قطعات تولیدشده به روش متالورژی پودر مرسوم است و بیشتر چگالی فولادهای تولیدی به روش متالورژی پودر از فولادهای ریختگی پایین تر است [31]، اما تشکیل این حفرات با مقادیر نسبتاً زیاد، احتمالاً به اعمال فشار پایین در مرحله فشردن ارتباط پیدا می‌کند [7,32]. بنابراین، نوع تخلخل در فوم‌های فولادی تولیدشده وجود دارد که نوع اول، سلول‌های

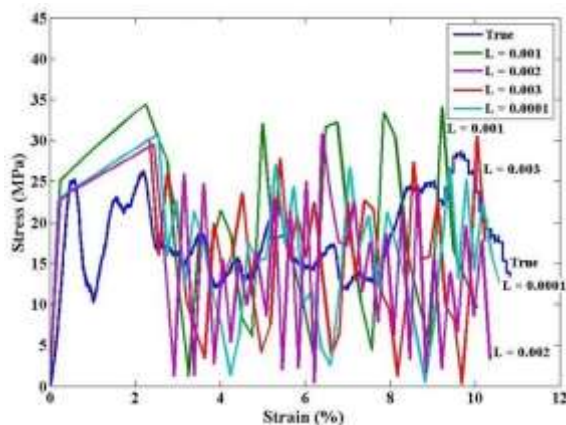


شکل ۳ نمایش سلول‌ها و دیواره سلول‌ها در فوم‌های تولیدی، (الف) تصویر میکروسکوپ نوری و (ب) تصویر میکروسکوپ الکترونی روبشی



شکل ۴ تصاویر دیواره سلول‌ها، (الف) میکروسکوپ نوری و (ب) میکروسکوپ الکترونی روبشی

واقعی دارد. بنابراین، نتایج شبیه‌سازی در ناحیه کشسان بسیار نزدیک به نتایج واقعی است و اندازه‌اش در شرایط مطالعه شده تأثیر چندانی ندارد. منحنی تجربی نشان می‌دهد در ابتدای ناحیه مومسان، تقریباً به صورت ناگهانی افت شدیدی داشته و حدوداً به نصف مقدار بیشینه خود در ناحیه کشسان می‌رسد. دلیل این پدیده می‌تواند فرو پاشیدن لایه یا لایه‌هایی از سلول‌ها در نمونه آزمایش شده باشد. ناحیه تغییر شکل مومسان شامل یک ناحیه پلاتو دندان‌اره‌ای نسبتاً طولانی است. در منحنی تنش-کرنش فشاری واقعی، ناحیه پلاتو نسبتاً طولانی منجر به جذب انرژی بسیار زیاد در فوم فولادی می‌شود. علاوه بر این، تشکیل قله‌ها و دره‌ها در ناحیه پلاتو دندان‌اره‌ای به تخریب لایه‌ای از سلول‌ها در اثر فشار اعمالی و سپس، مقاومت مجدد فوم در برابر تنش اعمالی وابسته است [13,16]. ارتفاع قله‌ها و عمق دره‌ها در منحنی‌های شبیه‌سازی شده در مقایسه با منحنی واقعی بیشتر است. مشاهده می‌شود که کاهش اندازه‌اش منجر می‌شود. منحنی‌های شبیه‌سازی شده به منحنی واقعی نزدیک‌تر شوند. کاهش اندازه‌اش می‌تواند این امکان را فراهم می‌کند که محاسبات بیشتری انجام شود و در نتیجه، دقت نتایج افزایش می‌یابد [26-28].

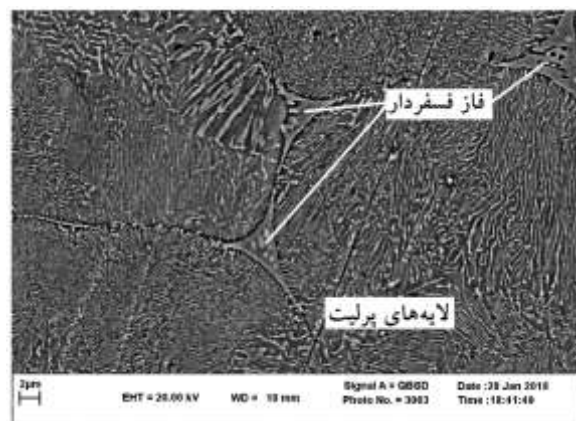


شکل ۶ اثر اندازه‌اش بر منحنی‌های تنش-کرنش فشاری در  $0.004$   
 $f_n = 1/25$  و  $q_1 = 1/75$  و  $q_2 =$

#### اثر $f_n$

در شکل ۷، نتایج به دست آمده از تغییر در مقادیر  $f_n$  بر روی منحنی‌های تنش-کرنش فشاری در کنار منحنی تنشکرنش

شکل ۵ تصویر میکروسکوپ الکترونی روبشی از ریزساختار دیواره سلول‌ها را در فوم‌های تولیدی نمایش می‌دهد. همان‌طور که مشاهده می‌شود، ۳ نوع فاز متفاوت در ریزساختار تشکیل شده است که لایه‌های فریت و سمانتیت منجر به تشکیل پرلیت می‌شود و در مرز بین دانه‌های آهن، فاز فسفردار کشیده شده است. نفوذ کربن (۰/۵ درصد وزنی) سبب تشکیل کاربید آهن به صورت لایه‌ای شده است و در نتیجه، ساختار پرلیتی به وجود آمده است. علاوه بر این، فسفر افزودنی (۲ درصد وزنی) در شرایط تفجوشی ( $1120^\circ\text{C}$ ) موجب تشکیل فاز مذاب فسفردار می‌شود که در بین ذرات آهن کشیده می‌شود. کشیده شدن فاز فسفردار ذوب شده در بین ذرات آهن و سپس جامد شدن آن موجب بهبود اتصال بین ذرات آهن می‌شود. در نتیجه، با استفاده از فسفر در مخلوط پودری و بروز تفجوشی حالت مذاب، اتصال ذرات به یکدیگر بهبود پیدا می‌کند [33].

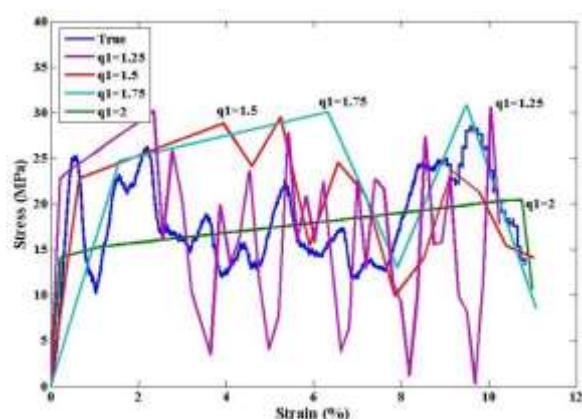


شکل ۵ تصویر میکروسکوپ الکترونی روبشی از ریزساختار دیواره سلول

#### اثر اندازه شبکه‌بندی

اثر تغییرات اندازه‌اش بر روی منحنی تنش-کرنش فشاری همراه با منحنی تنش-کرنش به دست آمده از آزمون فشار، در شکل ۶ نمایش داده شده است. همان‌طور که مشاهده می‌شود، تغییر شکل کشسان به صورت خطی در ابتدای منحنی‌ها مشاهده می‌شود. قسمت خطی منحنی‌های شبیه‌سازی شده کاملاً منطبق بر یکدیگر است و اختلافی بسیار جزئی با منحنی

نزولی کاهش می‌یابد و در مقدار  $q_1=2$ ، اصلاً دندانه‌ای مشاهده نمی‌شود. تأثیر شدید  $q_1$  بر روی تخمین رفتار مکانیکی و شکل منحنی‌های تنش- کرنش قبلاً نیز گزارش شده است [24,26]. انتظار می‌رود که مقادیر بزرگ‌تر  $q_1$  بدون اثر چشمگیر بر فرایند رشد حفرات، منجر به ظاهر شدن نرمی بیشتری در رفتار ماده شود [35]. در واقع، افزایش مقدار پارامترهای  $q_1$  و  $q_2$ ، اثر کسر حجمی حفرات را بیشتر می‌کند که نتیجه آن کاهش شدیدتر مقاومت کششی پیش‌بینی شده در مدل گارسون-تورگارد-نیدلمن است. این موضوع به روشنی در شکل ۸ مشاهده می‌شود. در برخی مطالعات، مقدار  $q_1=1/5$  به عنوان مقدار بهینه برای بسیاری از مواد جامد متخلخل از جمله فلزات سلولی پیشنهاد شده است [36,37]. مطالعه حاضر نشان می‌دهد که مقدار  $q_1=1/25$  در مدل گارسون-تورگارد-نیدلمن می‌تواند رفتار فوم فولادی بررسی شده را بهتر پیش‌بینی کند.

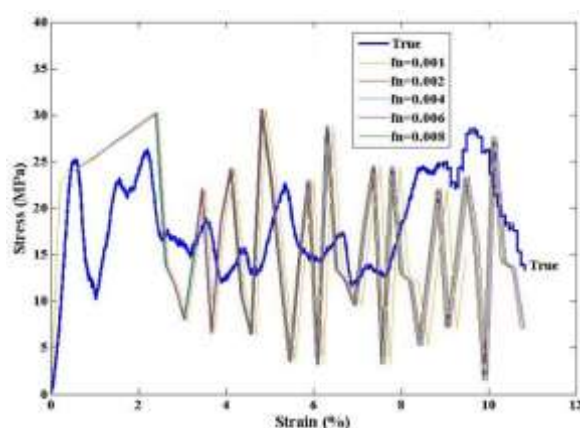


شکل ۸ اثر  $q_1$  بر منحنی‌های تنش-کرنش فشاری در  $L=0/003$ ،  $q_2=1/5$  و  $f_n=0/004$

### اثر $q_2$

اثر تغییر در مقادیر  $q_2$  بر روی منحنی‌های تنش-کرنش فشاری در کنار منحنی تنش-کرنش واقعی در شکل ۹ نمایش داده شده است. همان‌طور که مشاهده می‌شود، رفتار منحنی‌های تنش-کرنش شبیه‌سازی شده بسیار نزدیک به یکدیگر است. در همه منحنی‌ها، پس از ناحیه کشسان، که به صورت خطی مشاهده می‌شود، ناحیه پلاتو دندانه‌ای

واقعی به تصویر کشیده شده است. مشاهده می‌شود منحنی‌های تنش-کرنش فشاری شبیه‌سازی شده در ناحیه کشسانی کاملاً و در ناحیه مومسان تا حد زیادی بر روی یکدیگر منطبق شده‌اند و تغییر در مقدار  $f_n$  تأثیر چندانی بر روی منحنی‌های تنش-کرنش فشاری ندارد. البته، در  $0/001$   $f_n=$  منحنی تنش-کرنش در مقادیر کرنش کمتری قطع می‌شود. لازم به ذکر است اسلیمان و همکاران [26] در مطالعه رفتار کششی فولاد کربنی نتایج مشابهی گزارش کرده‌اند.



شکل ۹ اثر  $f_n$  بر منحنی‌های تنش-کرنش فشاری به ازای  $L=0/003$ ،  $q_2=1/5$  و  $q_1=1/25$

### اثر $q_1$

مقادیر ضرایب  $q_1$  و  $q_2$  به ویژگی‌های کشسانی-مومسانی ماده، نسبت تنش تسلیم به ضریب کشسانی و کرنش سختی ارتباط دارند [34]. ثابت  $q_1$  تابع تسلیم را با اصلاح پارامتر کسر حجمی حفرات واقعی تحت تأثیر قرار می‌دهد. اثر  $q_1$  بر روی منحنی‌های تنش-کرنش فشاری در کنار منحنی تنش-کرنش واقعی در شکل ۸ نمایش داده شده است. همان‌طور که مشاهده می‌شود،  $q_1$  برخلاف  $f_n$  تأثیر شدیدی بر روی منحنی‌های تنش-کرنش فشاری دارد. افزایش مقدار  $q_1$  منجر به کاهش تعداد نقاط شبیه‌سازی شده می‌شود و شکل منحنی از حالت دندانه‌ای خارج می‌شود. در مقدار  $q_1=1/25$ ، ابتدا ناحیه کشسان خطی و سپس ناحیه پلاتو به صورت کاملاً دندانه‌ای مشاهده می‌شود. این در حالی است که در مقادیر  $q_1=1/5$  و  $q_1=1/75$ ، تعداد دندانه‌ها در ناحیه پلاتو به صورت



می یابد [35].

### نتیجه گیری

در این پژوهش، نمونه‌های آزمایشگاهی فوم‌های فولادی به روش متالورژی پودر و با استفاده از اوره به عنوان فضا ساز تولید شدند و میزان تخلخل، ریزساختار و رفتار فشاری آن‌ها مطالعه شد. علاوه بر این، تأثیر پارامترهای شبیه سازی بر منحنی‌های تنش- کرنش فشاری بر اساس معادله گارسون- تورگارد- نیدلمن ارزیابی شد و نتایج کلی زیر به دست آمد:

۱. میزان تخلخل در فوم‌های فولادی ۷۹/۳ درصد اندازه گیری شد؛

۲. تخلخل فوم‌های فولادی از سلول‌های تشکیل شده بر اساس خروج دانه‌های اوره و حفرات باقی مانده در بین ذرات آهن تفجوشی شده تشکیل شده است؛

۳. ریزساختار دیواره فوم‌های فولادی به صورت پرلیتی است که فاز فسفردار در مزر ذرات آهن تشکیل شده است؛

۴. تشکیل فاز فسفردار در مرز ذرات آهن منجر به تفجوشی حالت ذوبی و بهبود اتصال ذرات به یکدیگر می شود؛

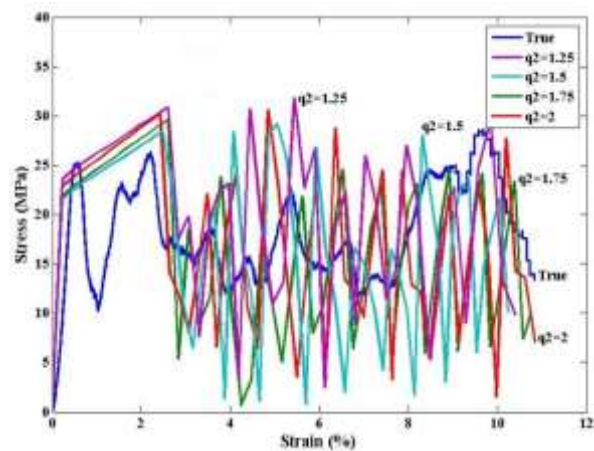
۵. نتایج به دست آمده از شبیه سازی و آزمون فشار به ویژه در ناحیه کشسانی و محدوده میانی ناحیه مومسانی فوم فولادی بررسی شده، تطابق مقبولی دارند؛

۶. اندازه مش و مقادیر  $f_n$  و  $q_1$  و  $q_2$  بر روی منحنی‌های تنش-کرنش فشاری شبیه سازی شده مؤثرند.

۷. اثر  $f_n$  و  $q_2$  نسبت به  $q_1$  درخور توجه نیست. با وجود این، تغییر مقدار  $f_n$  کمترین تأثیر را بر روی منحنی تنش-کرنش فشاری دارد؛

۸. کاهش مقدار  $q_1$  باعث بهبود نتایج حاصل از شبیه سازی می شود. به طوری که به ازای  $q_1=1/25$  بهترین تطابق با نتایج تجربی به دست می آید.

تشکیل شده است که نسبتاً طولانی است. ذخیره مقدار زیاد انرژی بر پایه این که مساحت زیر منحنی تنش-کرنش در ناحیه پلاتو دندان اراهی بسیار زیاد است، در فوم‌های فولادی تولید شده به روش متالورژی پودر امکان پذیر است. علاوه بر این، مشاهده می شود که در منحنی‌های تنش-کرنش فشاری شبیه سازی شده، اثر  $q_1$  در مقایسه با  $q_2$  شدیدتر است (با مقایسه اشکال ۸ و ۹). تأثیر بیشتر  $q_1$  در مقایسه با  $q_2$  در شبیه سازی رفتار کششی نیز گزارش شده است [26].



شکل ۹ اثر  $q_2$  بر منحنی‌های تنش-کرنش فشاری در  $L=0/003$ ،  $f_n=0/004$  و  $q_1=1/25$

بر اساس معادله (۳)، پارامتر  $q_2$  به عنوان یک فاکتور اصلاح کننده مؤلفه تنش هیدرواستاتیک در محدوده کشسانی جاری عمل می کند. به ازای مقادیر بالای  $q_2$ ، حد تسلیم به طور درخور ملاحظه‌ای کاهش می یابد. علاوه بر این، مقادیر بزرگ  $q_2$ ، به دلیل رشد حفرات، منجر به نرمی نسبتاً شدید در ماده بستر می شوند و این موضوع پدیده کرنش سختی را تقریباً به طور کامل از میان می برد. به تبع آن، ویژگی‌های مکانیکی پیش بینی شده در مدل گارسون-تورگارد-نیدلمن کاهش

### مراجع

1. Ashby, M. F., Evans, A. G., Fleck, N. A., Gibson, L. J., Hutchinson, J. W., Wadley, H. N. G., "Metal Foams: A Design Guide", Elsevier, Boston, pp. 25-112, (2000).
2. Banhart, J., "Manufacture, characterisation and application of cellular metals and metal foams", Progress

- Material Science*, Vol. 46, pp. 559-632, (2001).
3. Sazegaran, H., Kiani-Rashid, A. R., Vahdati Khaki, J., "Effects of sphere size on the microstructure and mechanical properties of ductile iron–steel hollow sphere syntactic foams", *International Journal of Minerals, Metallurgy and Materials*, Vol. 23, pp. 676-682, (2016).
  4. Gibson, L. J., Ashby, M. F., *Cellular Solids–Structures and Properties*, 2nd ed., pp. 78 Cambridge University Press, Cambridge, (1997).
  5. Aida, S. F., Hijrah, M. N., Amirah, A. H., Zuhailawati, H., Anasyida, A. S., "Effect of NaCl as a Space Holder in Producing Open Cell A356 Aluminium Foam by Gravity Die Casting Process", *Procedia Chemistry*, Vol. 19, pp. 234-240, (2016).
  6. Kadkhodapour, J., Montazerian, H., Samadi, M., Schmauder, S., Abouei Mehrizi, A., "Plastic deformation and compressive mechanical properties of hollow sphere aluminum foams produced by space holder technique", *Materials and Design*, Vol. 83, pp. 352-362, (2015).
  7. Smith, B. H., Szyniszewski, S., Hajjar, J. F., Schafer, B. W., Arwade, S. R., "Steel foam for structures: A review of applications, manufacturing and material properties", *Journal of Constructional Steel Research*, Vol. 71, pp. 1-10, (2012).
  8. Takata, N., Uematsu, K., Kobashi, M., "Compressive properties of porous Ti-Al alloys fabricated by reaction synthesis using a space holder powder", *Material Science and Engineering A*, Vol. 697, pp. 66-70, (2017).
  9. Noorsyahirah, A., Mazlan, M., Afian, O. M., Aswad, M. A., Jabir, S. M., Nurazilah, M. Z., Afiq, N. H. M., Bakar, M., Nizam, A. J. M., Zahid, O. A., Bakri, M. H. M., "Application of Potassium Carbonate as Space Holder for Metal Injection Molding Process of Open Pore Copper Foam", *Procedia Chemistry*, Vol. 19, pp. 552-557, (2016).
  10. Raj, S. V., Ghosn, L. J., Lerch, B. A., Hebsur, M., Cosgriff, L. M., Fedor, J., "Mechanical properties of 17-4PH stainless steel foam panels", *Material Science and Engineering A*, Vol. 456, pp. 305-316, (2007).
  11. Park, C., Nutt, S. R., "Effects of process parameters on steel foam synthesis", *Material Science and Engineering A*, Vol. 297, pp. 62-28, (2001).
  12. Park, C., Nutt, S. R., "PM synthesis and properties of steel foams", *Material Science and Engineering A*, Vol. 288, pp. 111-118, (2000).
  13. Golabgir, M. H., Ebrahimi-Kahrizsangi, R., Torabi, O., Tajizadegan, H., Jamshidi, A., "Fabrication and evaluation of oxidation resistance performance of open-celled Fe(Al) foam by space-holder technique", *Advanced Powder Technology*, Vol. 25, pp. 960-967, (2014).
  14. Bekoz, N., Oktay, E., "Effects of carbamide shape and content on processing and properties of steel foams", *Journal of Materials Processing Technology*, Vol. 212, pp. 2109-2116, (2012).
  15. Bekoz, N., Oktay, E., "Effect of heat treatment on mechanical properties of low alloy steel foams", *Materials and Design*, Vol. 51, pp. 212-218, (2013).

16. Mirzaei, M., Paydar, M. H., "A novel process for manufacturing porous 316L stainless steel with uniform pore distribution", *Materials and Design*, Vol. 121, pp. 442-449, (2017).
17. Tian, D., Pang, Y., Yu, L., Sun, L., "Production and characterization of high porosity porous Fe-Cr-C alloys by the space holder leaching technique", *International Journal of Minerals, Metallurgy and Materials*, Vol. 23, pp. 793-798, (2016).
18. Mutlu, I., Oktay, E., "Production and aging of highly porous 17-4 PH stainless steel", *Journal of Porous Materials*, Vol. 19, pp. 433-440, (2012).
19. Sawei, Q., Xinna, Z., Qingxian, H., Renjun, D., Yan, Ju., Yuebo, H., "Research Progress on Simulation Modeling of Metal Foams", *Rare Metal Materials and Engineering*, Vol. 44, pp. 2670-2676, (2015).
20. Mohammadi Nasrabadi, A. A., Hedayati, R., Sadighi, M., "Numerical and experimental study of the mechanical response of aluminum foams under compressive loading using CT data", *Journal of Theoretical and Applied Mechanics*, Vol. 54, pp. 1357-1368, (2016).
21. Ramirez, J. F., Cardona, M., Velez, J. A., Mariaka, I., Isaza, J. A., Mendoza, E., Betancourt, S., Fernandez-Morales, P., "Numerical modeling and simulation of uniaxial compression of aluminum foams using FEM and 3D-CT images", *Procedia Materials Science*, Vol. 4, pp. 227-231, (2014).
22. Gurson, A. L., "Continuum theory of ductile rupture by void nucleation and growth: part I – yield criteria and flow rules for porous ductile media", *Journal of Engineering Material and Technology*, Vol. 99, pp. 2-15, (1977).
23. Lemaitre, J., "A continuous damage mechanics model for ductile fracture", *Journal of Engineering Material and Technology*, Vol. 107, pp. 83-89, (1985).
24. Thuillier, S., Le Maout, N., Manach, P. Y., "Bending limit prediction of an aluminum thin sheet", *International Journal of Material Forming*, Vol. 3, pp. 223-226, (2012).
25. Springman, M., Kuna, M., "Identification of material parameters of the Gurson–Tvergaard–Needleman model by combined experimental and numerical techniques", *Computational Materials Science*, Vol. 32, pp. 544-552, (2005).
26. Slimane, A., Bouchouicha, B., Benguediab, M., Slimane, S. A., "Parametric study of the ductile damage by the Gurson–Tvergaard–Needleman model of structures in carbon steel A48-AP", *Journal of Materials Research and Technology*, Vol. 4, pp. 217-223, (2015).
27. Tsiloufas, S. P., Plaut, R. L., "Ductile Fracture Characterization for Medium Carbon Steel Using Continuum Damage Mechanics", *Materials Sciences and Applications*, Vol. 3, pp. 745-755, (2012).
28. Pardoen, T., Doghri, T., Delannay, F., "Experimental and numerical comparison of void growth models and void coalescence criteria for the prediction of ductile fracture in copper bars", *Acta Materialia*, Vol. 46, pp.541-52, (1998).

29. Wcislik, W., "Experimental determination of critical void volume fraction  $f_F$  for the Gurson Tvergaard Needleman (GTN) model", *Procedia Structural Integrity*, Vol. 2, pp. 1676-1683, (2016).
30. Chu, C. C., Needleman, A., "Void nucleation effects in biaxially stretched sheets", *ASME Journal of Engineering Materials and Technology*, Vol. 102, pp. 249-256, (1980).
31. Park, C., Nutt, S. R., "PM synthesis and properties of steel foams", *Materials Science and Engineering A*, Vol. 288, pp. 111-118, (2000).
32. Chauhan, S., Verma, V., Prakash, U., Tewari, P. C., Khanduj, D., "Processing of Cr-Mo Alloy Steel via PM Route", *Materials Today: Proceedings*, Vol. 3, pp. 2899-2903, (2016).
33. German, R. M., Suri P., and Park, S. J., "Review: liquid phase sintering", *Journal of Materials Science*, Vol. 44, pp. 1-9, (2009).
34. Kossakowski, P. G., "Simulation of ductile fracture of S235JR steel using computational cells with microstructurally-based length scales", *Journal of Theoretical And Applied Mechanics*, Vol.50, pp. 589-607, (2012).
35. Corigliano, A., Mariani, S., Orsatti, B., "Identification of Gurson–Tvergaard material model parameters via Kalman filtering technique: I Theory", *International Journal of Fracture*, Vol. 104, pp. 349-373, (2000).
36. Tvergaard, V., "Influence of voids on shear band instabilities under plane strain condition", *International Journal of Fracture*, Vol. 17, pp. 389-407, (1981).
37. Xia, L., Shih, C. F., "Ductile crack growth - II. Void nucleation and geometry effects on macroscopic fracture behavior", *Journal of the Mechanics and Physics of Solids*, Vol. 43, pp.1953-1981, (1995).